

УДК 535.853.1

## ВОССТАНОВЛЕНИЕ ОПТИЧЕСКИХ СПЕКТРОВ И ДРУГИХ НЕОТРИЦАТЕЛЬНЫХ ФУНКЦИЙ ПО МЕТОДУ СТАТИСТИЧЕСКОЙ РЕГУЛЯРИЗАЦИИ

*B. F. Турчин и L. C. Туровцева*

В работе описан метод статистической регуляризации для восстановления оптических спектров с учетом конечной разрешающей силы прибора и решения других задач такого рода. В отличие от прежних вариантов метода статистической регуляризации здесь используется дополнительная априорная информация о неотрицательности восстанавливаемой функции. Разработан алгоритм с учетом этой дополнительной информации и создана программа для проведения расчетов. Выполнена серия математических экспериментов, иллюстрирующих эффективность описанного метода.

Рассмотрим задачу о восстановлении оптического спектра  $\varphi(x)$  по результату его измерения с помощью прибора, характеризующегося функцией разрешения  $R(x)$ . Измеряемая функция, которую мы обозначим  $f(x)$ , связана с  $\varphi(x)$  следующим образом:

$$f(x) = \int_a^b R(x - x') \varphi(x') dx' + \varepsilon(x), \quad (1)$$

где  $\varepsilon(x)$  — случайная функция, изображающая ошибки измерения. В более общем случае, когда учитывается изменение функции разрешения с частотой, соотношение (1) имеет вид

$$f(x) = \int_a^b K(x, x') \varphi(x') dx' + \varepsilon(x). \quad (2)$$

Мы предполагаем, что математическое ожидание функции  $\varepsilon(x)$  равно нулю, а так как функция  $\varepsilon(x)$  нам, разумеется, не известна, при нестатистическом подходе задача восстановления  $\varphi(x)$  сводится к решению уравнения

$$f(x) = \int_a^b K(x, x') \varphi(x') dx'. \quad (3)$$

Учитывая отброшенный член  $\varepsilon(x)$ , мы можем удовлетвориться и приближенным решением этого уравнения.

Однако уравнение (3) при гладком ядре  $K(x, x')$  некорректно, и его решение невозможно без дополнительных (априорных) предположений о  $\varphi(x)$ . Тихонов [1] разработал метод регуляризации решения некорректных задач, состоящий в замене исходного уравнения (3) на «регуляризованное» уравнение, являющееся корректным и включающее параметр регуляризации  $\alpha$ , который введен таким образом, что при  $\alpha=0$  регуляризованное уравнение переходит в исходное. Решение регуляризованного уравнения является гладкой функцией, и при малом  $\alpha$  его можно рассматривать как приближенное решение уравнения (3). Метод статистической регуляризации [2-4] состоит в том, что соотношение (2) с самого

начала рассматривается с позиций математической статистики, и априорная информация о решении вносится в виде априорного распределения вероятности для функции  $\varphi(x)$ . При этом оказывается, что если априорная информация о  $\varphi(x)$  состоит в предположении о гладкости этой функции, то для наиболее правдоподобной функции  $\varphi(x)$  мы получаем уравнение, совпадающее с регуляризованным уравнением Тихонова. Далее, статистические соображения дают оценку погрешности восстановления и алгоритм выбора параметра регуляризации  $\alpha$ .

В задаче о восстановлении оптического спектра (как и во многих других задачах физики) искомая функция  $\varphi(x)$ , кроме того, что она является гладкой, удовлетворяет еще одному требованию: она принимает только неотрицательные значения,  $\varphi(x) \geq 0$ . Ясно, что учет дополнительной априорной информации о неотрицательности  $\varphi(x)$  должен улучшить результат восстановления. В настоящей работе мы опишем получающийся при этом алгоритм и результаты некоторых модельных расчетов.

Мы принимаем за основу метод статистической регуляризации с выбором наиболее вероятного параметра регуляризации  $\alpha$  (см. [3], а также обзорную статью [4]). В этом варианте априорная информация о гладкости функции  $\varphi(x)$  задается следующей плотностью вероятности:

$$P(\varphi) = \text{const} \int_0^{\infty} C_{\alpha} \exp \left\{ -\frac{\alpha}{2} (\varphi, \Omega \varphi) \right\} d\alpha. \quad (4)$$

Здесь  $\varphi = \{\varphi_1, \varphi_2, \dots, \varphi_n\}$  — вектор, компонентами которого являются значения функция  $\varphi(x)$  в некоторых опорных точках  $x_i \in [a, b]$ ;  $\varphi_i = \varphi(x_i)$ ,  $i = 1, 2, \dots, n$ ;  $\Omega$  — матрица такая, что квадратичная форма  $(\varphi, \Omega \varphi)$  представляет конечно-разностное приближение к интегралу

$$\int_a^b \left[ \frac{d^2 \varphi(x)}{dx^2} \right]^2 dx,$$

переменная интегрирования  $\alpha$  имеет смысл параметра регуляризации, а  $C_{\alpha}$  — нормировочный множитель (зависящий от  $\alpha$ ), который определяется из соотношения

$$\int_0^{\infty} C_{\alpha} \exp \left\{ -\frac{\alpha}{2} (\varphi, \Omega \varphi) \right\} d\varphi = 1. \quad (5)$$

Пусть функция  $f(x)$  измеряется в  $m$  точках  $x_j$ ; обозначим ее значения через  $f_j$ , а через  $\mathbf{f}$  — соответствующий  $m$ -мерный вектор. Обозначим через  $s_j$  среднеквадратичную ошибку измерения  $f_j$

$$s_j^2 = \langle \varepsilon(x_j)^2 \rangle \quad (6)$$

и будем считать ошибки  $\varepsilon_j = \varepsilon(x_j)$  независимыми и распределенными нормально. Заменив интеграл в (2) на его конечно-разностное приближение, представим соотношение (2) в виде системы линейных уравнений

$$f_j = \sum_{i=1}^n k_{ji} \varphi_i + \varepsilon_j, \quad j = 1, 2, \dots, m. \quad (7)$$

В работе [3] показано, что в этих условиях может быть вычислена апостериорная плотность вероятности  $P(\alpha | \mathbf{f})$  для параметра  $\alpha$ , найдено значение  $\alpha_0$ , при котором эта функция принимает максимальное значение (оценка гладкости функции по методу наибольшего правдоподобия), и вместо интеграла (4) в качестве априорной вероятности для  $\varphi$  взята функция

$$P_{\alpha_0}(\varphi) = C_{\alpha_0} \exp \left\{ -\frac{\alpha_0}{2} (\varphi, \Omega \varphi) \right\}. \quad (8)$$

Апостериорная плотность вероятности для  $\varphi$  определяется, опираясь на нормальный закон для  $\varepsilon_j$  и формулу Бейеса,

$$P(\varphi | f) = C \exp \left\{ -\frac{1}{2} (\varphi, [K^+ W K + \alpha \Omega] \varphi) + (K^+ W f, \varphi) \right\}. \quad (9)$$

Здесь  $W$  — диагональная матрица ошибок с матричными элементами

$$W_{ij} = \frac{1}{s_i^2} \delta_{ij} \quad (i, j = 1, 2, \dots, m), \quad \delta_{ij} = \begin{cases} 0 & \text{при } i=j, \\ 1 & \text{при } i \neq j. \end{cases}$$

Восстановленная функция  $\varphi^0$  и квадрат погрешности восстановления определяются как математическое ожидание и дисперсия компонент  $\varphi_i$  по ансамблю (9)

$$\varphi_i^0 = \int \varphi_i P(\varphi | f) d\varphi, \quad (10)$$

$$\sigma_i^2 = \int (\varphi_i - \varphi_i^0)^2 P(\varphi | f) d\varphi. \quad (11)$$

Эти интегралы легко берутся аналитически и для них получаются формулы, включающие лишь основные матричные операции [3].

Введем функцию  $\zeta(\varphi)$ , обращающуюся в нуль в тех случаях, когда  $\varphi_i < 0$  хотя бы при одном  $i = 1, \dots, n$ . Наиболее последовательный способ учета дополнительной информации о неотрицательности  $\varphi(x)$  — домножить априорную вероятность (4) на  $\zeta(\varphi)$ . При этом, однако, интеграл по  $\varphi$ , через который выражается апостериорное распределение  $P(\alpha | f)$  для параметра регуляризации  $\alpha$ , уже не берется аналитически, что создает трудности для нахождения наиболее вероятного значения  $\alpha_0$ . Поэтому поступим следующим образом. Сначала найдем  $\alpha_0$  без учета неотрицательности  $\varphi(x)$ , а затем в качестве априорной вероятности возьмем функцию (8), домноженную на  $\zeta(\varphi)$

$$P'(\varphi) = C' \zeta(\varphi) \exp \left\{ -\frac{\alpha_0}{2} (\varphi, \Omega \varphi) \right\}. \quad (12)$$

Константа  $C'$  определяется из условия нормировки и не совпадает с  $C_{\alpha_0}$ .

Множитель  $\zeta(\varphi)$ , введенный в априорную вероятность  $P'(\varphi)$ , переходит в апостериорную вероятность

$$P'(\varphi | f) = C'' \zeta(\varphi) P(\varphi | f) \quad (13)$$

и оказывается под знаком интеграла в формулах (10) и (11). Здесь снова возникает та же трудность: новые интегралы не берутся аналитически.

Чтобы избежать взятия интеграла (10), будем вычислять не математическое ожидание вектора  $\varphi$ , по апостериорному распределению, а тот вектор  $\varphi$ , при котором апостериорная плотность вероятности  $P'(\varphi | f)$  принимает максимальное значение; обозначим его  $\varphi^m$  и примем в качестве восстановленной функции. При отсутствии множителя  $\zeta(\varphi)$  апостериорное распределение для  $\varphi$  является нормальным, поэтому  $\varphi^0$  и  $\varphi^m$  совпадают. При наличии  $\zeta(\varphi)$  они не совпадают, и с точки зрения теоретической  $\varphi^0$  предпочтительнее, чем  $\varphi^m$ . Однако и  $\varphi^m$  имеет ясный смысл и в нашем случае отличается от  $\varphi^0$  незначительно.

Хуже обстоит дело с вычислением ошибки восстановления. Однако мы можем воспользоваться ошибкой, вычисляемой по формуле (11) без учета неотрицательности функции  $\varphi(x)$ , как оценкой сверху, ибо введение обрезающей функции  $\zeta(\varphi)$  может только уменьшить этот интеграл.

Точку  $\varphi^m$  можно определить как точку гипероктанта  $\varphi_i > 0, i = 1, 2, \dots, n$ , в которой функционал

$$Z(\varphi) = \frac{1}{2} (\varphi, [K^+ W K + \alpha \Omega] \varphi) - (K^+ W f, \varphi)$$

принимает минимальное значение. Легко показать, что если  $\varphi^0$  имеет отрицательные компоненты, то  $\varphi^m$  лежит на одной из граней гипероктанта, т. е. в области, где хотя бы одно из  $\varphi_i$  равно нулю. Грань  $\Gamma$  гипероктанта можно задать множеством  $v(\Gamma)$  тех  $i$ , при которых  $\varphi_i > 0$ . Через  $v(\Gamma)$  обозначим дополнительное множество, через  $R(\Gamma)$  — подпространство, образованное ортами множества  $v(\Gamma)$ . Грань  $\Gamma^m$ , содержащая  $\varphi^m$ , обладает следующими свойствами:

$$\frac{\partial}{\partial \varphi_i} Z(\varphi) = 0 \text{ для } i \in v(\Gamma), \quad (14a)$$

$$\frac{\partial}{\partial \varphi_i} Z(\varphi) \geq 0 \text{ для } i \notin v(\Gamma). \quad (14b)$$

Если грань  $\Gamma^m$  найдена, нахождение  $\varphi^m$  не представляет труда — достаточно решить линейную систему уравнений (14a) относительно  $\varphi_i$ ,  $i \in v(\Gamma^m)$ . Для остальных граней  $\Gamma$  осуществляется один из двух случаев.

1. Решение системы (14a) содержит отрицательные компоненты  $\varphi_i$ , иначе говоря, точка подпространства  $R(\Gamma)$ , в которой достигается минимум  $Z(\varphi)$ , лежит вне грани  $\Gamma$ .

2. Решение системы (14a) принадлежит грани  $\Gamma$ , но не выполнено условие (14b).

Алгоритм нахождения  $\varphi^m$  состоит в том, что некоторая опорная точка  $\varphi^p$  перемещается с грани на грань, пока не попадает на грань  $\Gamma^m$  и обращается в  $\varphi^m$ . Когда задана грань  $\Gamma$  и опорная точка  $\varphi^p \in \Gamma$ , правила перемещения определяют новую грань  $\Gamma'$  и опорную точку на ней  $\varphi^p \in \Gamma'$ . Начальной опорной точкой может служить, например, точка  $\varphi^p=0$  или точка, полученная из  $\varphi^0$  заменой всех отрицательных  $\varphi_i$  на нуль. Начальной гранью  $\Gamma$  может служить наименьшая грань, содержащая опорную точку. Правила перемещения таковы. Решаем систему (14a) для  $\Gamma$ ; решение обозначим через  $\varphi^r$ . Если имеет место случай 2, то положим  $\varphi^{p'}=\varphi^r$ , а грань  $\Gamma'$  получим «расширением» грани  $\Gamma$ : множество  $v(\Gamma')$  образуется из  $v(\Gamma)$  включением того  $i$ , для которого  $-\partial Z / \partial \varphi_i$  максимально. Из того, что  $\Gamma' \supset \Gamma$  и  $\varphi^{p'} \in \Gamma$ , следует  $\varphi^{p'} \in \Gamma'$ . Если имеет место случай 1, поступаем следующим образом. Соединяем точки  $\varphi^p$  и  $\varphi^r$  отрезком прямой

$$\varphi^d(\xi) = \varphi^p(1 - \xi) + \varphi^r\xi.$$

Поскольку  $\varphi^p$  не имеет отрицательных компонент, а  $\varphi^r$  имеет, существует такое  $i \in v(\Gamma)$ , что при движении по этому отрезку от  $\varphi^p$  к  $\varphi^r$  компонента  $\varphi_i^d$  меняет знак первой. Соответствующее значение параметра  $\xi$ , которое мы обозначим через  $\xi_0$ , нетрудно найти. Грань  $\Gamma'$  определим как «сужение» грани  $\Gamma$ : множество  $v(\Gamma')$  образуется исключением  $i$  из  $v(\Gamma)$ . В качестве опорной точки:  $\varphi^{p'}$  возьмем  $\varphi^d(\xi_0)$ . Из того, что  $\varphi_i^d(\xi_0)=0$ , следует:  $\varphi^{p'} \subset \Gamma$ . Наконец, если не имеет места ни случай 1, ни случай 2, то  $\Gamma=\Gamma^m$ ,  $\varphi^r=\varphi^m$  и выполнение алгоритма завершается.

Нетрудно убедиться в сходимости описанного метода. Случай 1 не может, очевидно, повторяться более чем  $n$  раз подряд. В случае же 2 опорная точка  $\varphi^p$  однозначно определяется гранью  $\Gamma$ . Так как при каждом шаге значение функционала  $Z(\varphi^p)$  убывает, пройдя такую грань, мы не можем попасть на нее снова. Из ограниченности числа граней следует сходимость метода. На практике она оказывается очень быстрой.

На рис. 1 — 5 приводятся результаты модельных расчетов по методу статистической регуляризации с использованием дополнительной информации о неотрицательности искомой функции. Расчеты проводились так. Была выбрана некая неотрицательная функция  $\varphi$ , которую мы будем называть «истинной» функцией; на всех рисунках она показана сплошной жирной линией. Затем эта функция свертывалась с «функцией разрешения» треугольной формы (полуширина ее варьировалась) и к результату добавлялась нормально распределенная случайная ошибка («ошибка эксперимента»). Полученная функция рассматривалась как левая часть  $f$  и восстанавливалась функция  $\varphi^0$  без учета и  $\varphi^m$  с учетом информации о

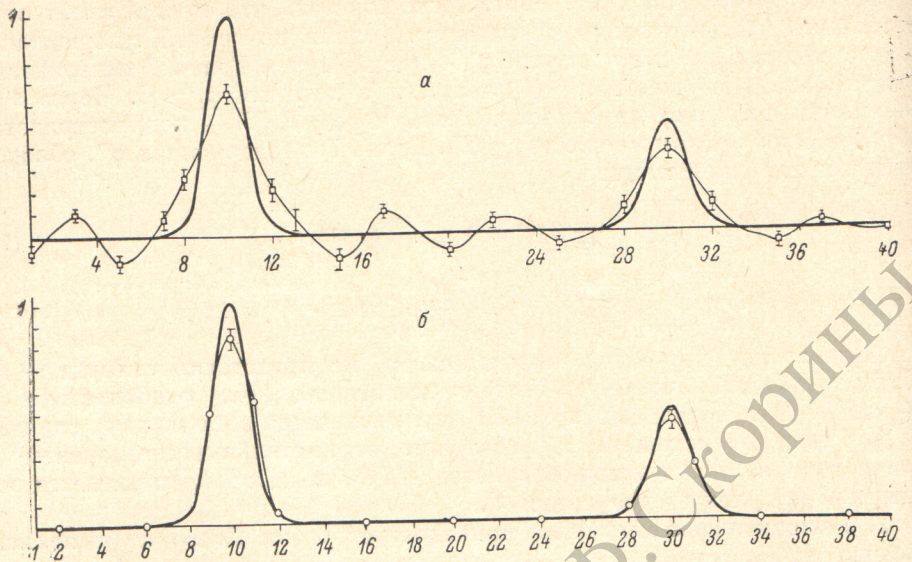


Рис. 1. Восстановление функции  $\varphi(x)$  (жирная кривая без точек) в модельном расчете.

Полуширина функции разрешения  $\Delta=5$ . Среднеквадратичная величина «экспериментальной» ошибки  $s_j=0.03 f_j$ . а — восстановление без условия неотрицательности  $\varphi(x)$ , б — с условием неотрицательности.

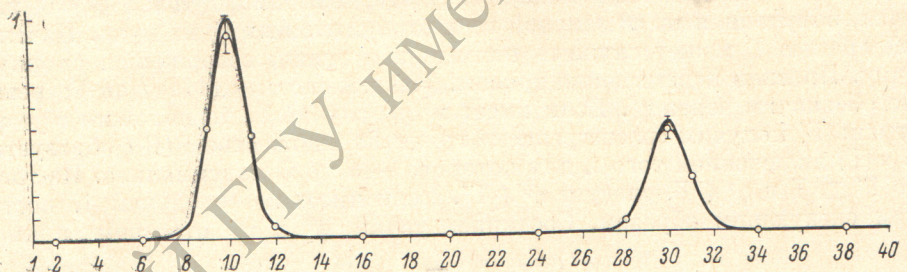


Рис. 2.  
То же, что на рис. 1, б, но с поправкой в  $\alpha_0$ .

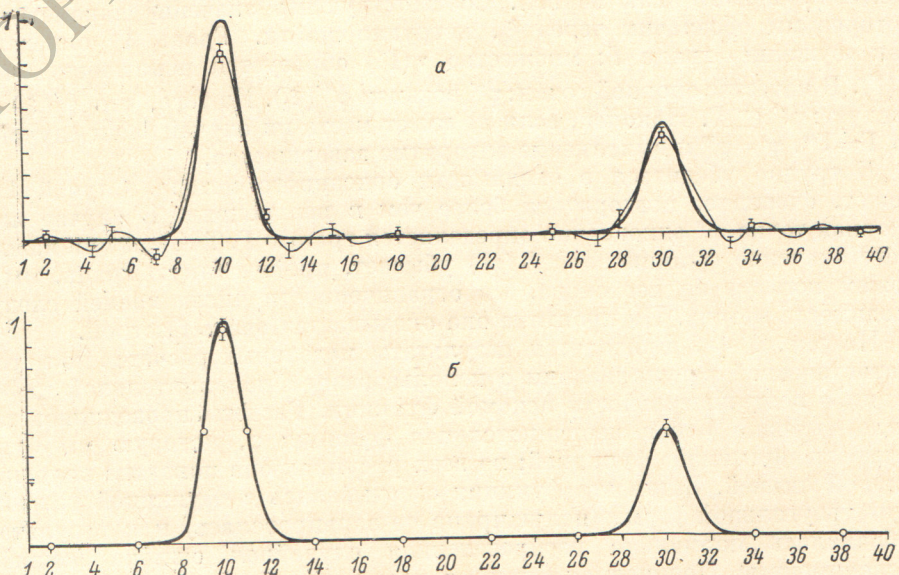


Рис. 3. Восстановление по алгоритму без учета неотрицательности (а) и с учетом неотрицательности (б) при  $\Delta=3$ ,  $s_j=0.03 f_j$ .

неотрицательности функции. Восстановленная функция показана тонкой линией с кружочками; показана также теоретическая (среднеквадратичная) ошибка восстановления. Полуширина  $\Delta$  функции разрешения и

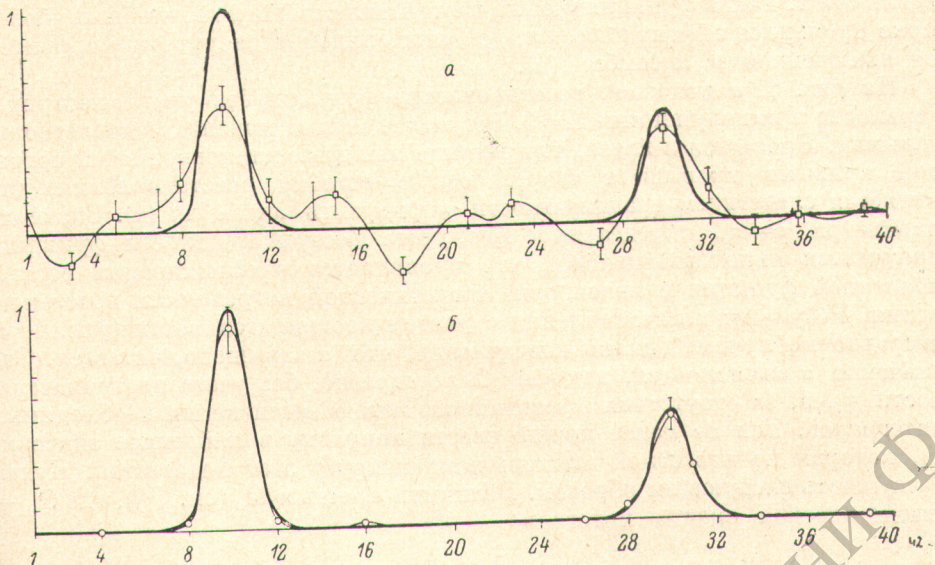


Рис. 4.  
То же, что на рис. 3 при  $\Delta=8$ .

среднеквадратичная величина «экспериментальной» ошибки  $s_j$  указаны в подписях под рисунками.

Исходная функция  $\varphi$  имеет два острых максимума разной высоты, а в тех точках, которые не лежат вблизи точек максимума, обращается

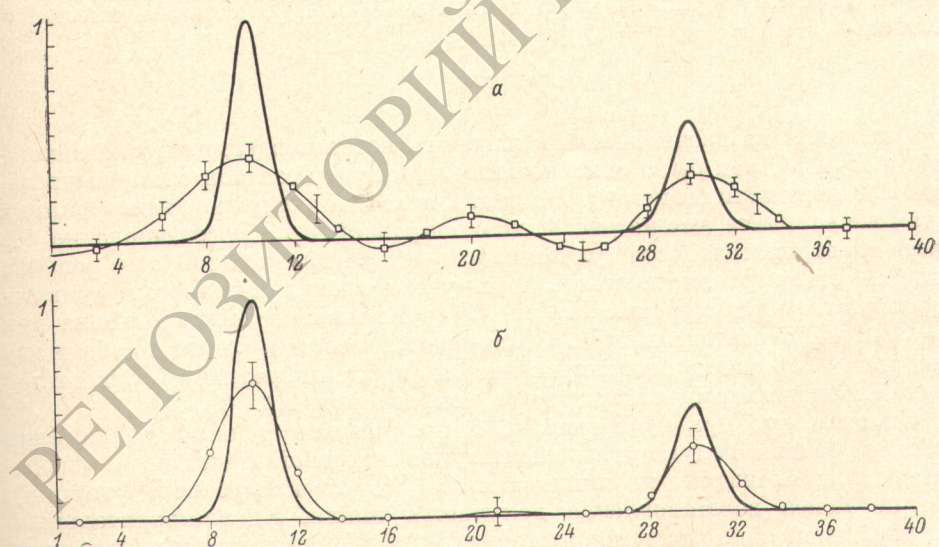


Рис. 5.  
То же, что на рис. 3 при  $\Delta=15$ .

в нуль. Такая функция не принадлежит к ансамблю (4); точнее, вероятность получить такую функцию из ансамбля (4) исчезающе мала. Действительно, в этом ансамбле функции с заданной нормой второй производ-

водной равновероятны. Ясно, что если задать норму второй производной, а в остальном генерировать функции случайно, то они не станут концентрироваться около двух точек и обращаться в нуль в остальных областях значений аргумента; они будут иметь тенденцию равномерно колебаться вдоль оси  $x$ . Такая функция  $\varphi$  была взята нами с той целью, чтобы наиболее ярко проявился эффект внесения дополнительной априорной информации, не включенной в ансамбль (4).

На рис. 1, а показано восстановление функции без учета неотрицательности при полуширине  $\Delta=5$ . Результат нельзя признать удовлетворительным. Бросается в глаза, что разница между восстановленной и истинной кривыми превышает теоретическую ошибку восстановления, что является следствием неадекватности априорного ансамбля (4). Значение параметра  $\alpha=\alpha_0$ , определенное без учета неотрицательности функции, получается явно завышенным, что проявляется в сглаживании восстановленной функции и недооценке теоретической погрешности восстановления. Результат восстановления с учетом неотрицательности (рис. 1, б) несравненно лучше, однако впечатление, что  $\alpha$  завыщено, остается. Это значение  $\alpha$  вычисляется, как уже было сказано, без учета неотрицательности  $\varphi_i$ , из-за отсутствия эффективного метода вычисления необходимых интегралов. Тем не менее можно ввести поправку в найденное значение  $\alpha_0$ , которая до известной степени компенсирует этот недостаток. Будем рассуждать следующим образом. Величина  $\alpha_0$  есть  $n/\Omega_0$  (см. [3]), где  $\Omega_0$  — статистическая оценка интеграла

$$\int \left( \frac{d^2\varphi}{dx^2} \right)^2 dx \quad (15)$$

в предположении, что функция  $\varphi(x)$  равномерно распределена во всем интервале  $x$ , соответствующем точкам  $i$  от 1 до  $n$ . Но мы знаем, что в действительности она отлична от нуля только на множестве точек  $i \in \nu(\Gamma^m)$ . Обозначим через  $n'$  число этих точек и представим себе, что функция  $\varphi(x)$  сжата по оси  $x$ , чтобы уместиться в интервале длиной  $n'$ . Очевидно, интеграл (15) возрастает при этом в  $(n/n')$ <sup>3</sup> раз. Поэтому чтобы правильно учесть характер функции  $\varphi(x)$  в точках  $i \in \nu(\Gamma^m)$ , возьмем вместо  $\alpha_0$  величину

$$\alpha'_0 = \alpha_0 (n'/n)^3.$$

Эта поправка введена нами в алгоритм восстановления. После нахождения  $\varphi^m$  и  $n'$ , как было описано выше, производится повторное вычисление  $\varphi^m$  с новым значением  $\alpha'_0$ . На рис. 2 показано восстановление функции в том же варианте, что на рис. 1, но с поправкой в  $\alpha$ . Восстановление без учета неотрицательности улучшилось незначительно, но зато оценка ошибки стала реалистической. При учете неотрицательности функция восстанавливается хорошо. На рис. 3–5 показано восстановление при  $\Delta=3, 8$  и  $15$  соответственно. Сравнивается восстановление по обычному алгоритму без учета неотрицательности (и без поправки в  $\alpha_0$ , конечно) и по окончательному алгоритму (с поправкой в  $\alpha'_0$ ).

Отметим, что при  $\Delta=8$  (рис. 4, б) полуширина функции разрешения вчетверо больше полуширины максимумов исходной функции, а «экспериментальная» ошибка не слишком мала (3% от «измеренной» функции); тем не менее восстановление получается вполне удовлетворительным. На рис. 5 показано восстановление  $\varphi$  при  $\Delta=15$ . Здесь уже и учет неотрицательности не спасет положения: восстановленная функция содержит ложный максимум (правда, в пределах теоретической ошибки).

Заметим, что одного лишь ограничения неотрицательными функциями недостаточно для эффективной регуляризации. Расчеты, проведенные нами, показали, что при слишком маленьком  $\alpha$  начинается «раскачка», несмотря на неотрицательность функции. Именно комбинация априорной гладкости и неотрицательности дает хороший результат.

Программы на Алголе и Фортране, осуществляющие описанный алгоритм, будут опубликованы отдельно.

#### Литература

- [1] А. Н. Тихонов. ДАН СССР, 151, 501, 1963.
- [2] В. Ф. Турчин. Ж. вычисл. мат. и матем. физ., 7, 1270, 1967.
- [3] В. Ф. Турчин, В. З. Нозик. Изв. АН СССР, сер. «Физика атм. и океана», 5, 29, 1969.
- [4] В. Ф. Турчин, В. П. Козлов, М. С. Малкевич. Усп. физ. наук, 102, 345, 1970.

Поступило в Редакцию 20 июня 1972 г.

---